

**Анотація.** Розглянута проблема динамічного руйнування льодової поверхні активним робочим органом, що включає систему зубів клинової форми. Запропоновані оптимальні значення параметрів зуба, які забезпечують утворення тріщини нормального відриву з найменшою енергомісткістю та з високою якістю очищення.

**Ключові слова:** тріщина, льодова поверхня, розклинювання, клин, коефіцієнт інтенсивності напруження (KIH), берег тріщини.

У розробленому за участю автора пристрої для руйнування льоду з асфальтових і бетонних покриттів тротуарів і невеликих ділянок доріг вібраційним робочим органом, який складається з системи зубів клинової форми. Для оцінки енергетичних і якісних показників роботи вказаного робочого органа розглянемо умови і особливості динамічної взаємодії одиночного зуба з льодовою поверхнею.

Приймемо, що одиночний зуб робочого органа довжиною  $L$  (рис. 1) у вигляді жорсткого клина трикутної форми впроваджується у льодову поверхню перпендикулярно до неї з максимальною швидкістю  $V_D$ . Тертям нехтуємо, бо маємо гладкий контакт.

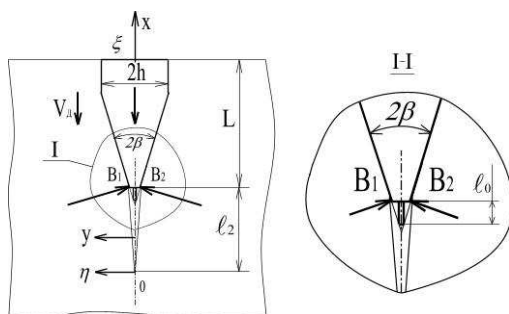


Рис. 1. Схема утворення основної тріщини

На кінці клинового зуба розміщений спеціальний прямокутний ніж постійного перерізу довжиною  $l_0$ , який створює початкову тріщину. Необхідність такої тріщини диктується результатами досліджень ряду вчених [1, 2]. Згідно з цим дослідженням для ціленаправленого руйнування крихких матеріалів і зниження енергетичних затрат при утворенні тріщини сколювання перед зубом, необхідно щоб сформувалася штучна початкова тріщина. Цю функцію виконує вказаний ніж. Основна тріщина довжиною  $l$ , яка утворюється в результаті занурення зуба конічної форми в льодову поверхню, утворюється в результаті розвитку початкової тріщини і її береги дотикаються в точці  $O$ ; її положення відносно точок сходу  $B_1$  і  $B_2$  берегів тріщини з клиновою поверхнею зуба наперед невідоме. Позначимо максимальну ширину клина рівну  $2h$ , кут розходження між його щокми  $-2\beta$ . Припустимо, що швидкість деформації льодової поверхні  $V_D$  менше швидкості розповсюдження хвиль Релея  $C_R$  в льодовому масиві.

Для вирішення динамічних рівнянь плоскої теорії пружності для цього випадку застосуємо метод комплексних змінних і метод Л.А. Галіна [3, 4, 5]. Щоб врахувати в розрахунках швидкість  $V_D$  замість нерухомої сис-

теми координат  $(x, y)$  скористаємося рухомою системою  $(\xi, \eta)$ , пов'язаною з рухомих клином

$$\xi = x + V_d t; \quad \eta = y. \quad (1)$$

Сила розклинювання  $P$  складається з двох складових: динамічної сили  $P_1$  і сили лобового опору  $P_2$  – рівнодіючої проекції нормальних сил на вісь  $0\eta$ .

Для складової  $P_1$  отримано залежність

$$P_1 = 2hp_0 \frac{2(1-\mu) \left[ \left(1 - \frac{1}{2}m^2\right)^2 - \sqrt{1-m^2} \times \sqrt{1 - \frac{1-2\mu}{2(1-\mu)}m^2} \right]}{\left[ \left(1 - \frac{1}{2}m^2\right) - \sqrt{1-m^2} \times \sqrt{1 - \frac{1-2\mu}{2(1-\mu)}m^2} \right]}, \quad (2)$$

де  $p_0 = \frac{E}{2(1-\mu^2)}$ ;  $m = \frac{V_d}{C_R}$ ;  $E$  – модуль Юнга;  $\mu$  – коефіцієнт Пуассона.

З формули (2) виходить, що сила  $P_1$  зменшується із зростанням швидкості руху клина, прагне до нуля при підході до критичної швидкості. Вона не залежить від форми і повністю визначається товщиною клина, швидкістю  $V_d$  і пружними характеристиками льоду  $E$  і  $\mu$ .

Залежність зміни  $P_1^* = \frac{P_1}{2hp_0}$  від  $m$  при  $\mu=0,35$ ,  $E=1,1 \cdot 10^9$  Н/м<sup>2</sup> представлена на рис. 2.

Лобовий опір  $P_2$  визначається за співвідношенням

$$P_2 = 2 \int_{\ell}^L (\sigma_{\eta})_{\eta=0} \cdot f'(\xi) d\xi. \quad (3)$$

Враховуючи, що рівняння бічних поверхонь клина рівне

$$f(\xi) = \pm tg\beta \cdot \xi, \quad (4)$$

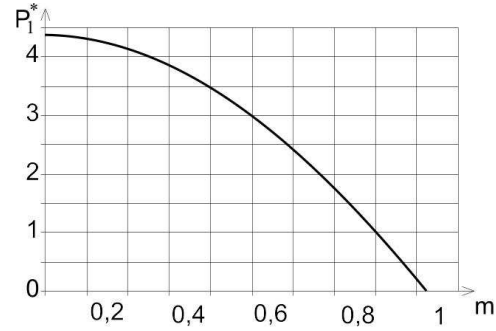


Рис. 2. Графік зміни сили  $P_1^*$  від  $m$

а розподіл нормальних напружень на бічних поверхнях клина має вигляд

$$(\sigma_{\eta})_{\eta=0} = \frac{C_0}{\pi \xi^{\frac{1}{2}} (\xi - \ell)^{\frac{1}{2}}}, \quad (5)$$

де  $C_0 = ph$ ;  $\ell = \frac{p^2 h^2}{K_{IC}^2}$ ;

$$p = \frac{2E}{(1+\mu)m^2 \sqrt{1 - \frac{1-2\mu}{2-2\mu}m^2}} \times \left[ \sqrt{(1-m^2) \left(1 - \frac{1-2\mu}{2-2\mu}m^2\right)} - \left(1 - \frac{1}{2}m^2\right)^2 \right], \quad (6)$$

отримаємо

$$P_2 = \frac{2tg\beta \cdot ph}{\pi} \int_{\ell}^L \frac{d\xi}{\xi^{\frac{1}{2}} (\xi - \ell)^{\frac{1}{2}}} = \frac{tg\beta \cdot ph}{\pi} \ln \left( \frac{\sqrt{L - \ell_2} + \sqrt{L}}{\sqrt{\ell_2}} \right), \quad (7)$$

Введемо заміну  $\psi(\ell_2) = \ln \left( \frac{\sqrt{L - \ell_2} + \sqrt{L}}{\sqrt{\ell_2}} \right)$ .

На рис. 2 побудовано залежність функції  $P_2^* = \frac{P_2}{ph}$  від  $\beta$ , при різних значеннях функції  $\psi(\ell_2)$ .

Якщо позначити товщину оброблюваної льодової поверхні  $H_0$ , то при повному її розклинюванні зубом повинно виконуватися співвідношення

$$\ell_2 = H_0 - L \quad (8)$$

або

$$\frac{p^2 h^2}{K_{IC}^2} = H_0 - L. \quad (9)$$

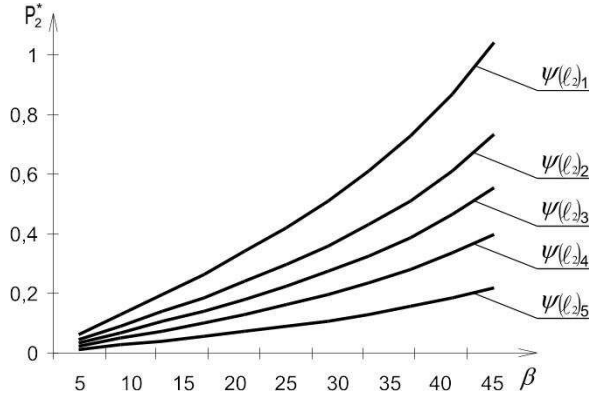


Рис. 3. Залежність функції  $P_2^* = \frac{P_2}{ph}$  від  $\beta$ , при різних значеннях функції  $\psi(\ell_2)$

Звідси знайдемо необхідну ширину клина

$$2h = \frac{2K_{IC}}{p} \sqrt{(H_0 - L)}. \quad (10)$$

Найважливішим чинником, що забезпечує ефективно і малоенергоємне розклинювання льодової поверхні, є забезпечення умов для утворення прямолінійної тріщини, нормальної до вказаної поверхні.

У роботах [6, 7] встановлено, що існує критична швидкість деформації ізотропного крихкого тіла  $V_D^*$ , при перевищенні якої тріщина руйнування починає скривлюватися і розгалужуватися. При цьому різко погіршуються умови крихкого руйнування.

$$V_D^* = m^* \cdot C_R. \quad (11)$$

При руйнуванні льодових покриттів при коефіцієнті Пуассона  $\mu = 0,35$ ,  $C_R = 3,0 \cdot 10^3$  м/с маємо  $V_D^* = 2091$  м/с.

Пристрій для руйнування льоду має значно меншу швидкість, тому викривлення нормальних тріщин руйнування не повинно відбуватися. При зануренні конічного зуба робо-

чого органа по нормалі до льодової поверхні в результаті її розклинювання відбувається додатковий розвиток тріщини в горизонтальному напрямку. Закон зміни довжини  $L_0$  вільної зрівноваженої тріщини встановлений І.А. Маркузоном [8].

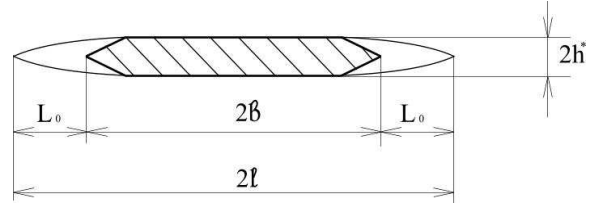


Рис. 4. Розрахункова схема зміни довжини тріщини

І.А. Маркузоном отримано умову, яка встановлює зв'язок між усіма розрахунковими параметрами

$$\frac{2Eh^*}{(1+\mu)(\chi+1)F(\kappa)\sqrt{\ell^2-b^2}} = \frac{K_{IC}}{\sqrt{\pi\ell}}, \quad (12)$$

де  $F(\kappa)$  – повний еліптичний інтеграл першого роду з модулем  $\kappa = \frac{\sqrt{\ell^2 - e^2}}{\ell}$  при умові ( $e < \ell$ ). В результаті граничного переходу із співвідношення (12) отримано шукану залежність для  $L_0 = \ell - e$ . При підстановці відповідних значень знаходимо величину  $L_0 = 0,0225$  м. Зі збільшенням параметра  $h^*$  розмір тріщини збільшується, максимальне збільшення  $L_{0\max}$  має місце при повному зануренні. Ця обставина сприяє додатковому руйнуванню льодової поверхні.

Очевидно, що мінімальну відстань між двома рядами зубів в робочому органі пристрою для руйнування льоду слід прийняти рівною  $2L_0$ .

Фактичну відстань (мінімальну) слід вибрати з урахуванням додаткового розклинювання льодової поверхні  $L^*$  при поступовому русі пристрою, тобто величина між зубової відстані повинна бути рівна  $2L_0 + L^*$ .

При роботі пристрою для руйнування льоду процес розклинювання льодової поверхні нормальними тріщинами руйнування слід розділити на дві стадії: перша – розвиток трі-

щини в однорідному льодовому масиві; друга – оцінка напружень у вершині тріщини, коли вона виходить на межі розділу двох середовищ (льоду і асфальтобетону).

Для спрощення розрахунків в обох випадках будемо розглядати тріщини, навантажені по берегах однаковими зосередженими силами. Перший випадок. Розглянемо в умовах плоского напруженого стану навантажені півплощини з перпендикулярними до її межі краєвими тріщинами; на берегах тріщини одиничної ширини прикладені самозрівноважені зосереджені сили  $P$ . Розрахункову схему наведено на рис. 4.

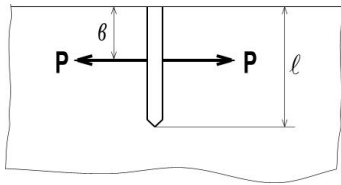


Рис. 5. Схема навантаження тріщини

Наближений вираз для КІН  $K_I$  отриманий в роботі Саврук М.П. [9]

$$K_I = \frac{2P\sqrt{C}}{\sqrt{1 - \left(\frac{v}{l}\right)^c}} \quad (14)$$

При  $v = \frac{l}{2}$ , 
$$K_I = \frac{2P\sqrt{C}}{\sqrt{1 - \left(\frac{1}{2}\right)^c}} \quad (15)$$

Вираз для  $C$  має вигляд

$$C = \frac{2\pi^2}{(\pi^2 - 4)} \quad (16)$$

Точний вираз для  $K_I$  отримано в результаті чисельного рішення інтегральних рівнянь в роботі [10].

Для відношення  $\frac{v}{l} = 0,5$  маємо

$$K_I = \frac{2,71P}{\sqrt{\pi l}} \quad (17)$$

Другий випадок. Припустимо, що на лінію з'єднання двох різних середовищ під прямим кутом виходить міжфазна тріщина нормального відриву. Розрахункову схему в декартових і полярних координатах представлено на рис. 5. Модуль зсуву  $G_1, G_2$  і коефіцієнт Пуассона  $\mu_1, \mu_2$  мають різні значення.

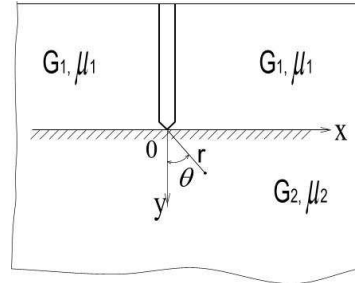


Рис. 6. Схема міжфазної тріщини

Згідно з дослідженнями П.М. Савчука [10] компоненти напруги  $\sigma_x, \sigma_y, \tau_{xy}$  поблизу вершини тріщини представляються у вигляді

$$\sigma = \left[ \frac{K_I}{\sqrt{2\pi r}^\lambda} \right] f(\lambda, \theta), \quad (18)$$

де  $\lambda$  – єдиний дійсний корінь характеристичного рівняння

$$2 \cos \pi \lambda + 4\gamma_2 (\lambda - 1)^2 - (\gamma_1 + \gamma_2) = 0, \quad (19)$$

який знаходиться в інтервалі (1, 0), тут

$$\gamma_1 = \frac{\chi_1 G_2 - \chi_2 G_1}{G_2 + \chi_2 G_1}; \quad (20)$$

$$\gamma_2 = \frac{G_2 - G_1}{G_1 + \chi_1 G_2}; \quad (21)$$

$$\chi_1 = 3 - 4\mu_1, \quad \chi_2 = 3 - 4\mu_2.$$

КІН  $K_I$  визначається за асимптотичною формулою

$$K_I = \lim_{x \rightarrow 0} \sqrt{2\pi x}^\lambda \sigma_x(y, 0) \quad (y > 0). \quad (22)$$

Значення  $\lambda$  при  $\mu_1 = 0,35; \mu_2 = 0,30$  для відношення  $q = \frac{G_2}{G_1}$  [7, 11] буде рівне при плоскому напруженому стані  $\lambda = 0,24 - 0,27$  зале-

жно від  $q$ . Розрахункову формулу для  $K_I$  отримано в такому вигляді

$$K_{I0} = \frac{\sqrt{2\pi P} \left(\frac{\ell}{2}\right)^{\lambda-1} q(1+\chi_1) [(2\lambda-1) \times \\ \times (q+\chi_2) + (3-2\lambda)(1+q\chi_1)]}{2\pi\alpha \sin \pi\lambda + 2\beta(1-\lambda)}, \quad (23)$$

де  $\alpha = (q + \chi_2)(1 + q\chi_1)$ ;  $\beta = -4(q + \chi_2)(1 - q)$ .

На основі проведених розрахунків динамічного руйнування льодової поверхні активним робочим органом, що включає систему зубів клинової форми, отримали оптимальні значення параметрів зуба, які забезпечують утворення тріщини нормального відриву з найменшою енергомісткістю та з високою якістю очищення, встановили значення КІН на поверхні льодового покриття та на межі міжфазного переходу та закон зміни довжини  $L_0$  вільної зрівноваженої тріщини.

1. Баренблатт Г.Н., Салганик Р.Л., Черепанов Г.П. О неустановившемся распространении трещин. // Прикл. математика и механика. – 1962. – №3. – С.328 – 334.
2. Hartranft R.I., Sih G.C. Alternating method applied to edge and surface crack problems // Methods of analysis and solution of crack problems. – Leyden: Noordhoff Intern. Publ., 1973. – P. 179 – 238. – (Mechanics of fracture; 1).

3. Галин Л.А. Контактные задачи теории упругости. – М.: Гостехиздат, 1953.
4. Баренблатт Г.Н., Черепанов Г.П. О расклинивании хрупких тел. // Прикл. математика и механика. – 1960. – №4. – С.667 – 682.
5. Мусхелишвили Н.И. Некоторые основные задачи математической теории упругости. – М.: Наука, 1966. – 707 с.
6. Панасюк В.В. Механика разрушения и прочность материалов: Справ. пособие.– К.: Наук. думка, 1988. – Т.2. Савчук М.П. Коэффициенты интенсивности напряжений в телах с трещинами. – 620 с.
7. Yoffe E. The moving Griffith crack. Phil. mag. – 1951. – Vol. 42. – №330.
8. Маркузон І.А. О расклинивании хрупкого тела клином конечной длины // Прикл. математика и механика. – 1961. – №2. – С. 356 – 361.
9. Саврук М.П. Двумерные задачи упругости для тел с трещинами. – К.: Наук. думка, 1981. – 324 с.
10. Механика разрушения и прочность материалов, – К.: Наук. думка. – Т.2. Савчук М.П. Коэффициенты интенсивности напряжений в телах с трещинами, 1988. – 620 с.
11. Cook T.S., Erdogan F. Stresses in bonded materials with a crack perpendicular to the interface // Int. J. Eng. Sci. – 1972, – 10, №8. – P. 667 – 697.

Рецензент: Ф.І. Абрамчук, професор, д.т.н., ХНАДУ.

Стаття надійшла до редакції 19 грудня 2007 р.